

星蘭工業大学 正会員 尾崎 詔
星蘭工業大学 学生員 ○橋本 至

1 まえがき

現在まで コンクリート桁橋の立体制的解析を行う場合ある厚さを有する部材を薄板と理想化して簡く方法を用いて来たが、本研究では 板厚を考慮した解析を行い 薄肉を仮定した三次元的解析との比較検討を行った

2 解析

ここでは Finite Prism Method (以後 F.P.M. とする) を用い、要素としては 三角柱要素を採用して計算した。これは、三次元構造を両支点上単純支持という条件のもとに 断面を二次元的に扱い 橋軸方向をフーリエ級数展開したものである。これは、三次元有限要素法に比べて計算が 容易になるという利点がある。要素について若干説明するに 図-1 の様な三角柱要素に対して 次の様な変位仮定をする

$$\left. \begin{array}{l} u = \sum_{m=0}^{\infty} u_m^m \sin \frac{m\pi z}{a} \\ v = \sum_{m=0}^{\infty} v_m^m \sin \frac{m\pi z}{a} \\ w = \sum_{m=0}^{\infty} w_m^m \cos \frac{m\pi z}{a} \end{array} \right\}$$

ここで $u_m^m = \alpha_1^m + \alpha_2^m x + \alpha_3^m y, v_m^m = \alpha_4^m + \alpha_5^m x + \alpha_6^m y$

$w_m^m = \alpha_7^m + \alpha_8^m x + \alpha_9^m y, a$ はスパンの長さ, m は項数

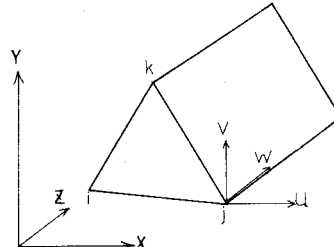


図-1

要素の剛性マトリックスは、一般的の過程により 次の様に誘導される

$$\{f_i^m\} = \{u_i^m, v_i^m, w_i^m\}^T \quad \{f_j^m\} = \{f_j^m, f_j^m, f_j^m\}^T \quad \{f_k^m\} = [A] \{\alpha^m\}$$

$$\{\varepsilon\} = \sum_m [B^m] \{\alpha^m\} = \Sigma [B^m] [A]^{-1} \{f^m\} \quad \{G\} = [D] \{\varepsilon\}$$

$$\text{仮想仕事の原理により} \quad [K^m] = \int_V [A]^{1-T} [B^m]^T [D] [B^m] [A]^{-1} dV$$

又荷重項についても 同様に計算される。

一方比較に用いた薄肉析板構造解析(以後 F.S.M. とする)は、面外変形は 橋軸方向曲げを考慮した薄板弾性理論により、面内変形は、二次元弾性理論による Goldberg の厳密理論による方法を用いた。

数值計算は、直線及び曲線の单一橋軸

について行った。断面、寸法及公要素

分割は、図-2 の通りである(128要素、96 節点)。

弾性係数は 300,000

kg/mm²、ポアソン比は 0.2、単位容積重

量は 2.5 t/m³とした。フーリエ級数

の項数は 收束度合から 集中荷重では

45 項、満載等分布荷重では、9 項と

した。実際の計算にあたって 電子計算機を用いたが F.P.M. では コアを大量に必要とする関係上、作業用ファイルを 6 本用了。又 CPU 時間は、F.P.M. の方が F.S.M. によるものの 約 4 倍弱の時間であった。

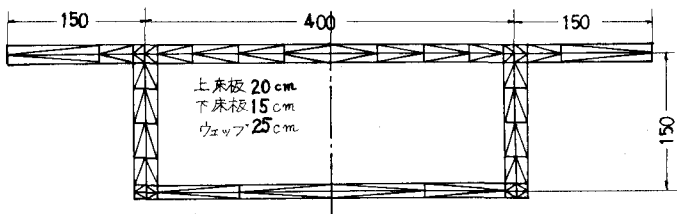


図-2

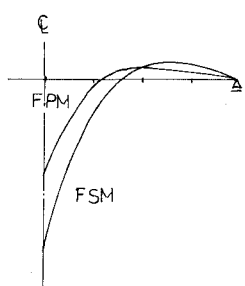


図 - 5

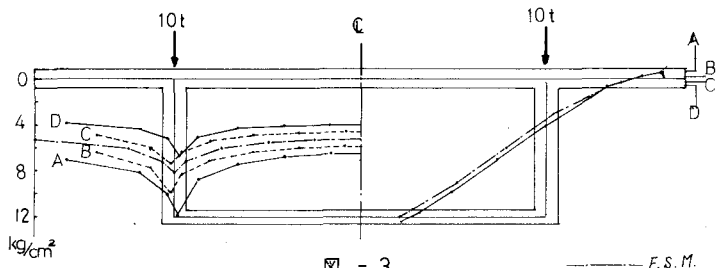


図 - 3

3 結果

図-3は、集中荷重を箱桁のスパン中央に載荷した時にあける対称曲げの軸方向応力分布図である。対称曲げによる変位、応力等の値は、F.S.M.の値とほぼ同一であるという結果を得る。

次に、スパン中央に対称ねじり集中荷重を作用させたスパン中央断面の軸方向応力の分布図は、図-4の様になる。F.P.M.による値は、F.S.M.による値より小さくなる。図-5にこの軸方向応力の軸方向分布を示す。図は省略するが、この場合の剪断応力

分布を見るにサンプナンのねじりモーメントとブレットのねじりモーメントの関係が表わされる。特にウェップにおいて、スパン中央から支点に向うにつれて剪断応力の厚さ方向の分布の傾きが急になっているなど、薄肉として解析することにより薄肉として解析する時には、得られない興味ある結果か、得られる。この場合もF.S.M.による値と比較するとF.P.M.による値の平均値と近い値を示した。

この程度の厚さを有するコンクリート橋では、薄肉と理想化を行っても十分なように思われる。その他に図-6には、曲線箱桁の自重によるスパン中央断面における軸方向応力分布図を示した。ただし断面寸法及び要素分割は図-2と同じで中心角45°、スパン25m、半径31mである。

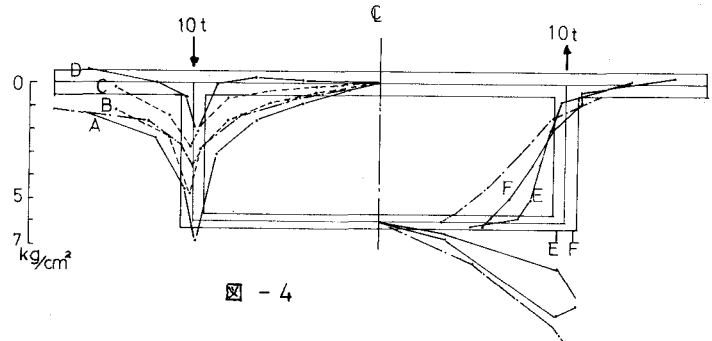


図 - 4

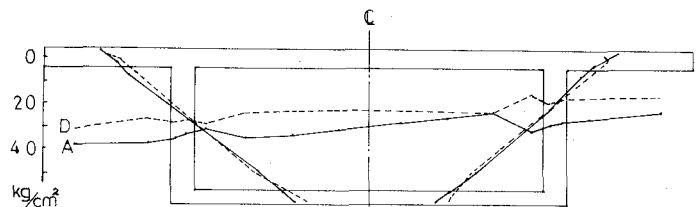


図 - 6

<参考文献>

- 1) Zienkiewicz O.C. The finite prism in analysis of thick simply supported bridge boxes
Proc. Inst. Civ. Engrg Part 2 Sept 1972 Vol 53
- 2) Fries-Shera, A.C. Scordelis Direct Stiffness Solution for Folded plates
Jnl Struct. Div. Proc. A S.C.E. 1964 August ST4